机器学习主流算法综述及应用实践

摘要： 本文通过对六种主流机器学习算法的实验与分析，探讨了它们在实际应用中的表现和优势。研究涵盖了回归、分类和深度学习等多种算法类型，结合真实数据集进行模型训练与评估，旨在为机器学习的应用提供更加直观和深入的理解。首先，本文采用线性回归模型对波士顿房价进行了预测，探讨了线性回归在处理线性关系数据时的优劣势；接着，使用决策树算法对鸢尾花数据集进行了分类，分析了决策树的特征重要性评估方法，并讨论了其在过拟合问题中的表现；随后，通过随机森林和XGBoost模型对泰坦尼克号数据进行了生存预测，比较了这两种集成学习方法的性能，结果显示XGBoost在应对复杂数据时具有更明显的优势。在神经网络部分，本文利用多层感知机（MLP）对MNIST手写数字数据集进行分类，取得了较高的准确率，充分展示了神经网络在自动特征学习方面的强大能力；最后，采用卷积神经网络（CNN）对CIFAR-10图像数据集进行分类，并通过可视化训练过程中损失与准确度的变化，揭示了深度学习模型在图像分类任务中的卓越表现。通过对这些算法的实际应用和性能分析，本文不仅总结了每种算法的适用场景，也展示了它们在不同数据类型上的表现和优势。最后，文章展望了机器学习领域的未来发展趋势，包括深度学习的持续进展、强化学习与迁移学习的融合，以及自动化机器学习和可解释人工智能的崛起。随着计算能力和数据规模的不断提升，机器学习在多个领域的突破和应用前景将更加广阔。

关键词： 机器学习，主流算法，综述，应用实践

作者简介: 张宇翔， 邮箱：yuxiangzhang040727@gmail.com， Github：https://github.com/zjtdzyx

Abstract: This paper examines the performance and advantages of six popular machine learning algorithms through experimental analysis in practical applications. It covers a variety of algorithm types, including regression, classification, and deep learning, using real-world datasets for model training and evaluation.The paper begins with linear regression applied to predict Boston housing prices, analyzing its strengths and weaknesses when handling linear relationships. Next, decision tree algorithms were used for classification on the Iris dataset, focusing on feature importance evaluation and the decision tree's performance in overcoming overfitting. Then, survival predictions for the Titanic dataset were made using both Random Forest and XGBoost models, comparing the performance of these two ensemble learning methods. Results indicate that XGBoost excels in managing complex data.In the neural network section, a multilayer perceptron (MLP) was used to classify the MNIST handwritten digits dataset, achieving high accuracy and highlighting the powerful feature-learning ability of neural networks. Finally, Convolutional Neural Networks (CNN) were applied to the CIFAR-10 image dataset, and by visualizing loss and accuracy curves during training, the exceptional performance of deep learning models in image classification was clearly demonstrated.Through the analysis and application of these algorithms, the paper not only summarizes the suitable use cases for each method but also showcases their performance across different types of data. The paper concludes by discussing future trends in machine learning, such as further advancements in deep learning, the integration of reinforcement learning with transfer learning, and the rise of automated machine learning and explainable AI. As computational power and data scale continue to grow, machine learning is poised to make even more significant breakthroughs across various fields.

Keywords: Machine Learning, Mainstream Algorithms, Survey, Application Practice

Author's Bio: Zhang Yuxiang， E-Mail：yuxiangzhang040727@gmail.com， Github：https://github.com/zjtdzyx

1. 引言

1.1 背景介绍

随着大数据时代的到来，机器学习作为人工智能的核心分支，正悄然改变着各行各业的面貌，甚至引发了一场技术革命。它不仅推动了传统计算模型向更智能的模型转型，还在许多领域取得了令人瞩目的成就。像图像识别、自然语言处理、金融风控、医疗诊断等，这些领域的突破，特别是在深度学习的推动下，极大地提升了机器学习在处理复杂数据和任务时的能力。

回顾机器学习的发展历程，从最初的专家系统到如今被广泛应用的深度学习技术，行业的进步和突破无时无刻不在发生[1]。尤其是在计算机视觉和自然语言处理领域，深度学习的快速发展极大地提高了模型的性能和效率。随着计算能力的飞速提升以及大数据资源的积累，机器学习技术的潜力愈发显现。更令人期待的是，多模态学习、强化学习等新兴领域也正展现出强大的前景[1]。

在实际应用中，选择合适的算法至关重要，因为不同算法的特性、优势和局限性决定了它们在各种场景中的表现。对于从事机器学习开发和研究的人来说，理解和掌握这些主流算法的基本原理，以及它们最适用的应用场景，是不可或缺的。随着技术的不断进步和算法的持续优化，机器学习不仅推动了各行业的创新，也为智能化应用的快速落地提供了强大的动力。

1.2 研究目的

本文旨在深入探讨六种主流的机器学习算法，包括线性回归、决策树、随机森林、XGBoost、神经网络（NN）和卷积神经网络（CNN）。通过对这些算法的综合分析，本文将详细阐述它们的基本原理、各自的优缺点以及适用的应用场景。具体而言，本文的目标如下：

- 解析每种算法在不同任务中的表现，帮助读者在实际问题中做出更加合理的算法选择。
- 探讨这些算法在不同数据集上的效果，评估它们在实际应用中的优势和局限性。
- 为机器学习领域的从业人员提供实际的指导，帮助他们更高效地应用这些算法解决问题。

通过这项研究，本文旨在为机器学习算法的选择与应用提供系统的框架，并为未来相关研究的深入开展提供启示和借鉴。希望这份研究能够帮助从业人员更好地理解和利用机器学习算法，为实际问题提供有效的解决方案，同时推动机器学习技术在各个领域的应用发展。

1.3 论文结构

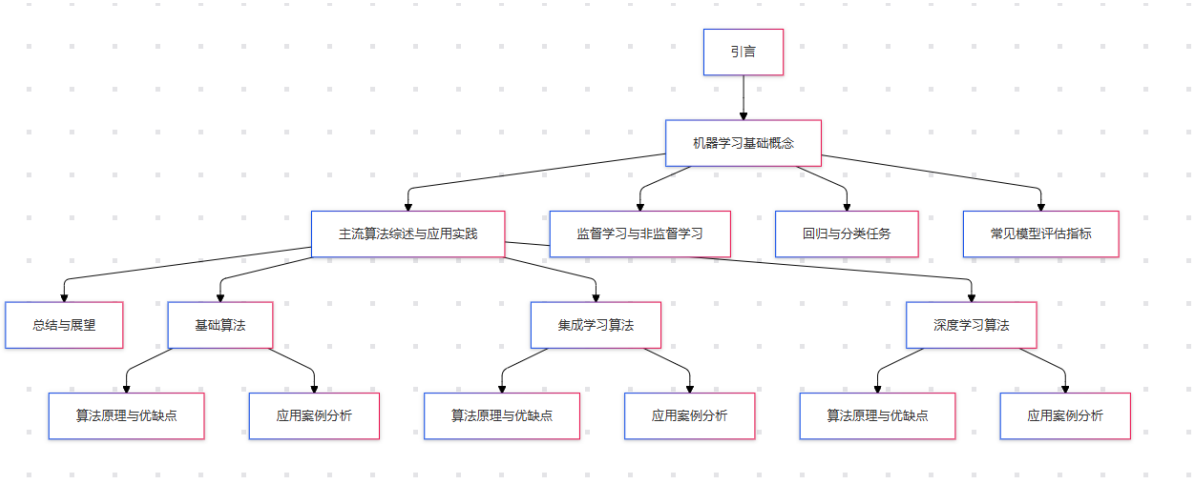

2. 机器学习基础概念

2.1 监督学习与非监督学习

在机器学习的世界里，任务的不同决定了我们该选择哪种算法。简单来说，机器学习大致可以分为两大类：**监督学习**和**非监督学习**，每一类背后都有自己独特的魅力和挑战。

- **监督学习**：这种学习方法依赖于已经标注的数据，通过学习输入与输出之间的关系来对新数据进行预测。监督学习的任务可以进一步细分为回归任务和分类任务。例如，**线性回归**可以用来预测连续的数值（比如房价），而**决策树**则适用于分类任务（例如客户分类）。在现实中，监督学习广泛应用于房价预测、疾病预测、金融风险评估等领域，帮助我们从历史数据中提取出有价值的规律，做出准确的预测。
- **非监督学习**：与监督学习不同，非监督学习不依赖标注数据，而是通过探索数据本身的潜在结构来发现规律。一个典型的非监督学习任务是**聚类**，比如**K-means聚类**，它通过衡量数据点的相似性，将数据分组，用于客户细分、市场分析等任务。非监督学习的核心是通过数据的内在特征进行推断，而不是依赖事先定义的标签。

在实际应用中，选择适合的学习类型主要取决于是否有标注数据以及问题的具体需求。理解监督学习与非监督学习的区别，不仅能帮助我们做出正确的算法选择，还能有效地解决各种实际问题。

2.2 回归与分类

机器学习的任务可以进一步分为**回归**任务和**分类**任务，这两种任务各自解决不同类型的问题：

- **回归任务**：目标是预测一个连续的数值输出。这类任务的经典应用包括房价预测、温度预测、股票价格预测等。在回归任务中，我们通常使用如**线性回归**或**支持向量回归**（SVR）等算法来建模，试图通过数据中的规律来建立输入特征与输出结果之间的关系。
- **分类任务**：分类任务的目标是将输入数据分配到不同的类别中。常见的应用场景包括垃圾邮件过滤、信用卡欺诈检测、疾病预测等。在分类任务中，算法如**决策树**、**随机森林**、**支持向量机**（SVM）等可以通过建立决策边界，将数据准确分类[3]。

当我们面对不同的任务时，选择合适的学习方法是至关重要的。如果有标注数据，监督学习无疑是最合适的工具；如果没有标注数据，那么非监督学习就能帮助我们从无序的世界中提炼出有用的信息[2]。理解这两者的区别，就像是掌握了一个解决问题的关键，让我们在面对不同挑战时能够更加得心应手。

2.3 评估指标

在机器学习的过程中，评估模型的表现是至关重要的一环。选择合适的评估指标不仅能帮助我们直观地衡量模型的效果，还能为模型的优化提供方向[6]。不同的任务和数据特点可能需要不同的评估标准，以下是几种常见的评估指标，它们各自具有独特的优势和应用场景：

- **准确率**：准确率是最直观的评估指标，它表示模型预测正确的样本占所有样本的比例。当数据集的类别分布较为均衡时，准确率无疑是一个非常有效的评估标准。然而，在类别不平衡的情况下，准确率可能会给出误导性的结论。举个例子，如果一个数据集中绝大部分是负类样本，模型只预测出所有样本为负类，也许能取得很高的准确率，但显然模型的实际效果并不理想。因此，在这种情况下，我们需要引入其他指标来进行更全面的评估。
- **精度与召回率**：在一些任务中，尤其是类别不平衡时，单一的准确率并不能充分反映模型的性能。**精度**（Precision）指的是被预测为正类的样本中，真正属于正类的比例；**召回率**（Recall）则是所有正类样本中，真正被预测为正类的比例。精度和召回率是两个互为补充的指标，通常需要根据具体任务来平衡二者。

- **F1分数**：为了综合考量精度和召回率，**F1分数**应运而生。它是精度和召回率的调和平均值，可以看作是两者的折衷。F1分数特别适合用于类别不平衡的任务，它能在保证一定精度的同时，避免召回率过低，进而使模型的性能评价更加全面。F1分数常常作为分类模型性能的综合指标，尤其是在需要对假阳性和假阴性有较高关注的场景中，能更客观地反映出模型的实际效果。

3. 主流算法综述与应用实践

本部分将根据基础算法、集成学习算法和深度学习算法这三大类别，详细阐述六种主流机器学习算法。我们将通过清晰的层次分解和实际应用案例，帮助大家更好地理解这些算法的工作原理、优势与局限性，同时结合实际问题展示如何选择和应用这些算法。

特别说明： 由于项目是开源的，本论文中不会涉及任何具体的代码细节。所讨论的内容将集中在算法流程、模型评估与结果展示等方面。如果你希望查看详细的代码实现，欢迎访问我的GitHub仓库（详见附录B）。通过GitHub，你可以深入了解每个算法的具体实现方式，以及如何在实际项目中高效应用这些算法。

这部分内容不仅是对算法的深度解析，也是通过实际应用案例的展示，帮助大家更好地理解如何将这些算法运用到自己的项目中。希望大家能从中获得启发，为未来的机器学习之路打下坚实的基础。

3.1 基础算法

基础算法是机器学习领域的基石，它们通常适用于较为简单的回归与分类问题，且便于理解和实现。这些算法提供了理解更复杂模型的框架，并能为实际问题提供高效的解决方案。

3.1.1 线性回归（Linear Regression）

（1）原理：

线性回归是最基础且经典的回归算法。它假设输入特征与输出变量之间存在线性关系，并通过最小化误差平方和（Least Squares）来优化模型的参数[11]。简单而言，线性回归试图找到一条最能拟合数据的直线，使得预测值与实际值之间的误差最小化[17]。

（2）应用：

线性回归广泛应用于许多回归任务，尤其适合用于预测房价、销售额、能源消耗等连续变量的场景。在这些任务中，输出变量通常与多个输入特征（如面积、时间、人口等）存在线性关系，因此线性回归成为了一个自然的选择[10]。

（3）优缺点：

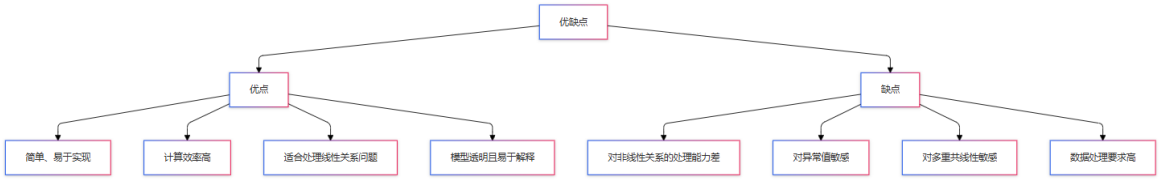

（4）实践案例：

使用加利福尼亚州房价数据集实现线性回归模型，预测房价。

- **数据集**：`sklearn.datasets.fetch_california_housing`（加利福尼亚州房价数据集）
- **任务**：使用`scikit-learn`库中的线性回归模型进行训练，并通过R^2得分与均方误差（MSE）评估模型性能。

（5）实现过程：

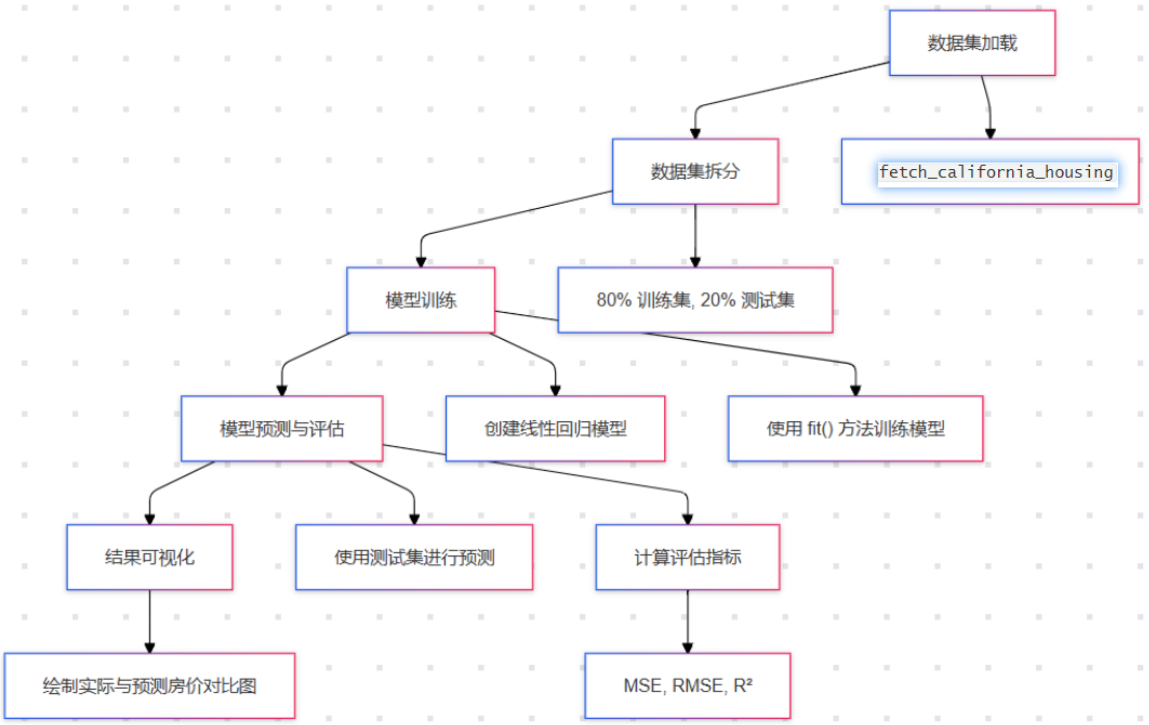

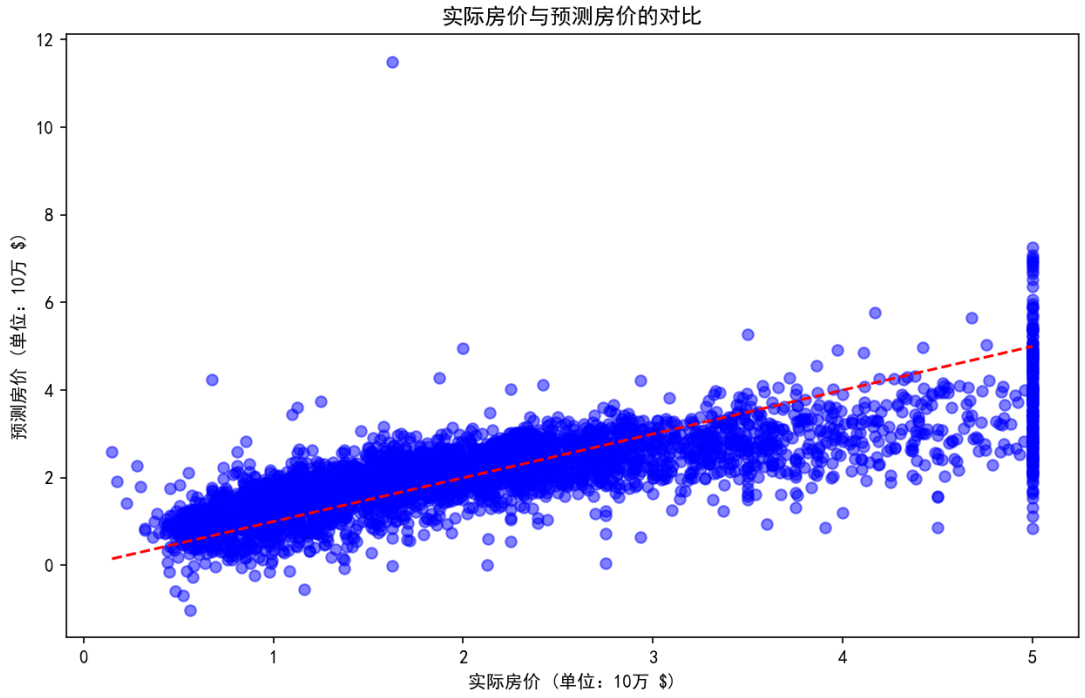

（6）结果分析与模型评估：

通过对**加利福尼亚房价数据集**的回归分析，我们得到以下模型评估结果：

评估指标	数值	分析与结论
均方误差 (MSE)	0.55	模型的预测误差较小，表现较好，能够准确地预测房价。
均方根误差 (RMSE)	0.74	RMSE为0.74，表明模型的平均误差适中，适合房价预测场景。
平均绝对误差 (MAE)	0.59	MAE为0.59，偏差较小，表明模型在房价预测上有较高的精度。
决定系数 (R^2)	0.81	R^2为0.81，模型能够解释81%的房价波动，拟合效果较好。

评估指标	数值	分析与结论
残差分析	无明显模式	残差图显示没有系统性偏差，符合线性回归的假设。
实际 vs 预测值	高相关性	实际与预测值的散点图接近理想参考线，表明预测准确性较高。

（7）总结：

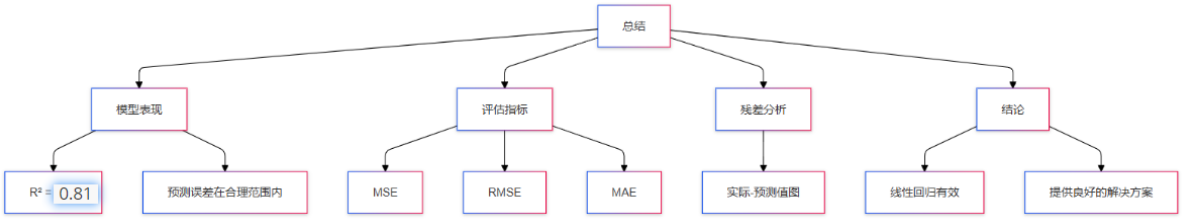

总的来说，线性回归模型在该数据集中的表现非常理想，能够有效地捕捉到数据中的线性趋势，并且具备较高的预测精度。

3.1.2 决策树（Decision Tree）

（1）原理：

决策树是一种通过递归分割数据集来创建树状模型的监督学习算法。每个节点代表一个条件判断（或决策），分裂数据集；而每个叶子节点则给出最终的分类或回归结果。决策树的构建过程涉及选择最佳特征分裂点，常用的标准包括信息增益、基尼指数等[9]。通过这些标准，决策树能高效地进行数据划分，从而构建一个层次化的决策结构。

（2）应用：

决策树在分类任务中表现尤为突出，广泛应用于如客户分类、疾病预测、欺诈检测等实际场景。由于决策树能够处理数值型和类别型数据，因此它在复杂数据环境中的灵活性较强。此外，决策树不仅能够清晰地表示决策过程，还能通过剪枝等手段减少模型的复杂度，提升模型的泛化能力。

（3）优缺点：

- **优点**：决策树具有良好的可解释性，尤其在可视化时，树状结构使得每个决策过程都能够被清晰地展示。此外，决策树不要求数据具有特定的分布，能够处理非线性关系，因此适用于多种复杂的分类任务。
- **缺点**：决策树容易过拟合，尤其是当树的深度过大时，模型会过度依赖于训练数据，从而失去泛化能力。为了避免过拟合，通常需要进行剪枝或使用集成学习方法（如随机森林、XGBoost）来增强模型的鲁棒性[13]。

（4）实践案例：

在本次实验中，我们将使用决策树对经典的Iris数据集进行分类，并深入分析模型的表现。

- **数据集**：`sklearn.datasets.load_iris()`（鸢尾花数据集）
- **任务**：通过决策树进行分类，构建并可视化决策树，评估模型性能并进行特征重要性分析。

（5）实现过程：

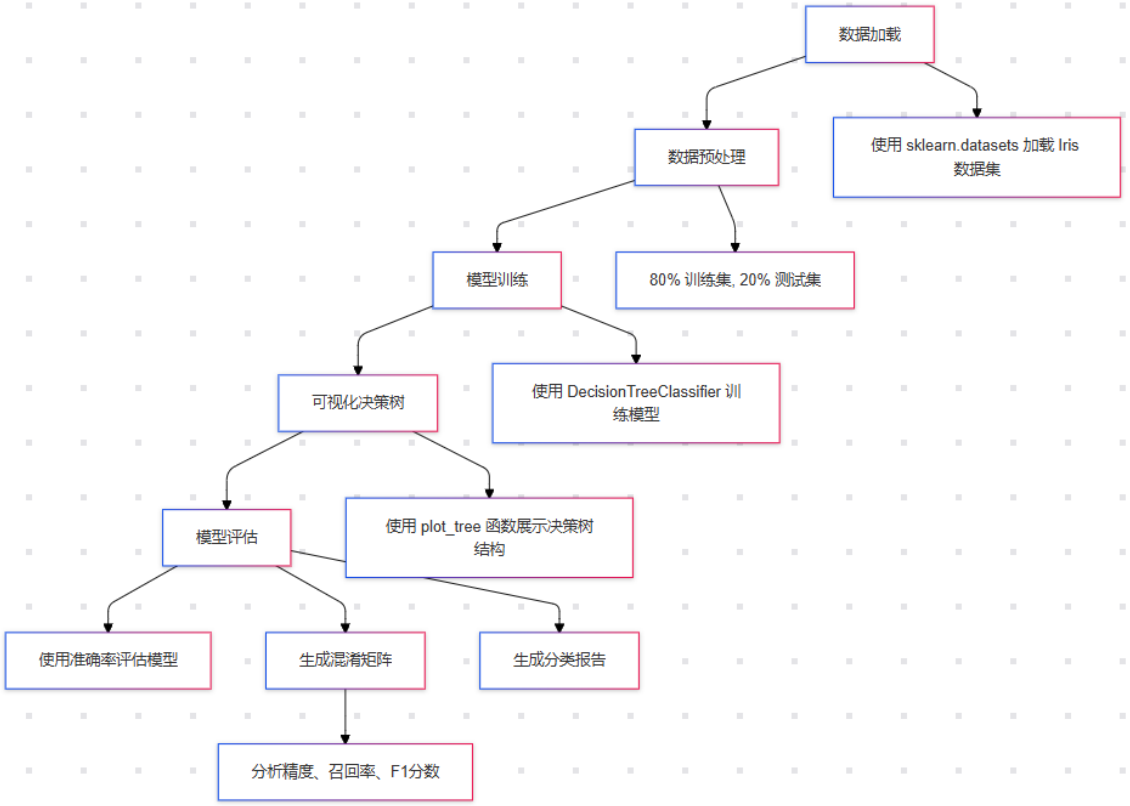
数据加载
数据预处理
使用 sklearn.datasets 加载 Iris 数据集
模型训练
80% 训练集, 20% 测试集
可视化决策树
使用 DecisionTreeClassifier 训练模型
模型评估
使用 plot_tree 函数展示决策树结构
使用准确率评估模型
生成混淆矩阵
生成分类报告
分析精度、召回率、F1分数

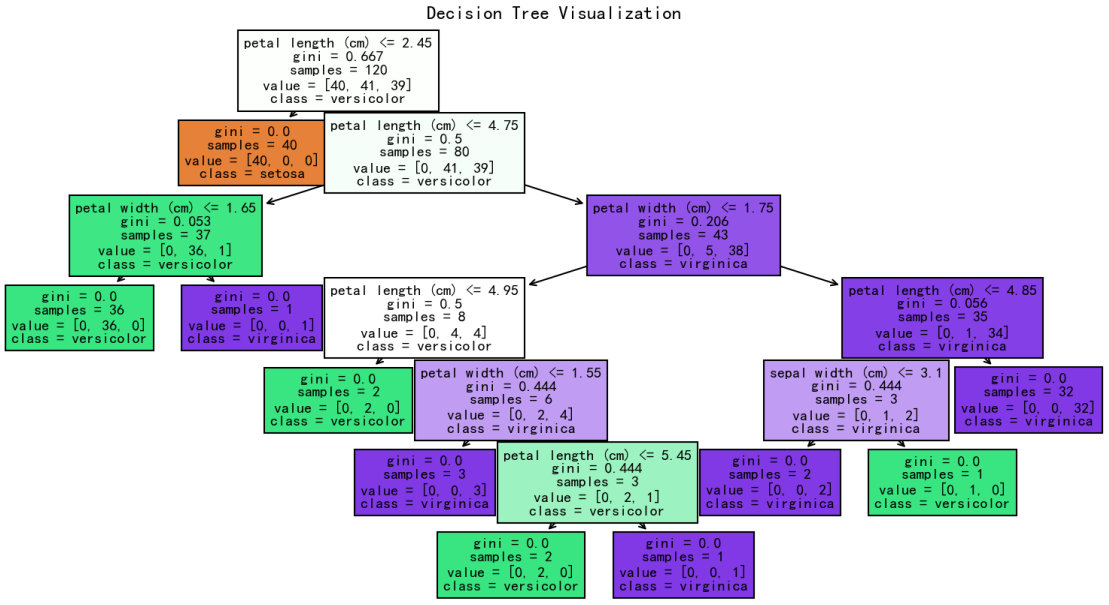
Decision Tree Visualization
petal length (cm) <= 2.45
gini = 0.667
samples = 120
value = [40, 41, 39]
class = versicolor
gini = 0.0
samples = 40
value = [40, 0, 0]
class = setosa
petal length (cm) <= 4.75
gini = 0.5
samples = 80
value = [0, 41, 39]
class = versicolor
petal width (cm) <= 1.65
gini = 0.053
samples = 37
value = [0, 36, 1]
class = versicolor
petal width (cm) <= 1.75
gini = 0.206
samples = 43
value = [0, 5, 38]
class = virginica
gini = 0.0
samples = 36
value = [0, 36, 0]
class = versicolor
gini = 0.0
samples = 1
value = [0, 0, 1]
class = virginica
petal length (cm) <= 4.95
gini = 0.5
samples = 8
value = [0, 4, 4]
class = versicolor
petal length (cm) <= 4.85
gini = 0.056
samples = 35
value = [0, 1, 34]
class = virginica
gini = 0.0
samples = 2
value = [0, 2, 0]
class = versicolor
petal width (cm) <= 1.55
gini = 0.444
samples = 6
value = [0, 2, 4]
class = virginica
sepal width (cm) <= 3.1
gini = 0.444
samples = 3
value = [0, 1, 2]
class = virginica
gini = 0.0
samples = 32
value = [0, 0, 32]
class = virginica
gini = 0.0
samples = 3
value = [0, 0, 3]
class = virginica
petal length (cm) <= 5.45
gini = 0.444
samples = 3
value = [0, 2, 1]
class = versicolor
gini = 0.0
samples = 2
value = [0, 0, 2]
class = virginica
gini = 0.0
samples = 1
value = [0, 1, 0]
class = versicolor
gini = 0.0
samples = 2
value = [0, 2, 0]
class = versicolor
gini = 0.0
samples = 1
value = [0, 0, 1]
class = virginica

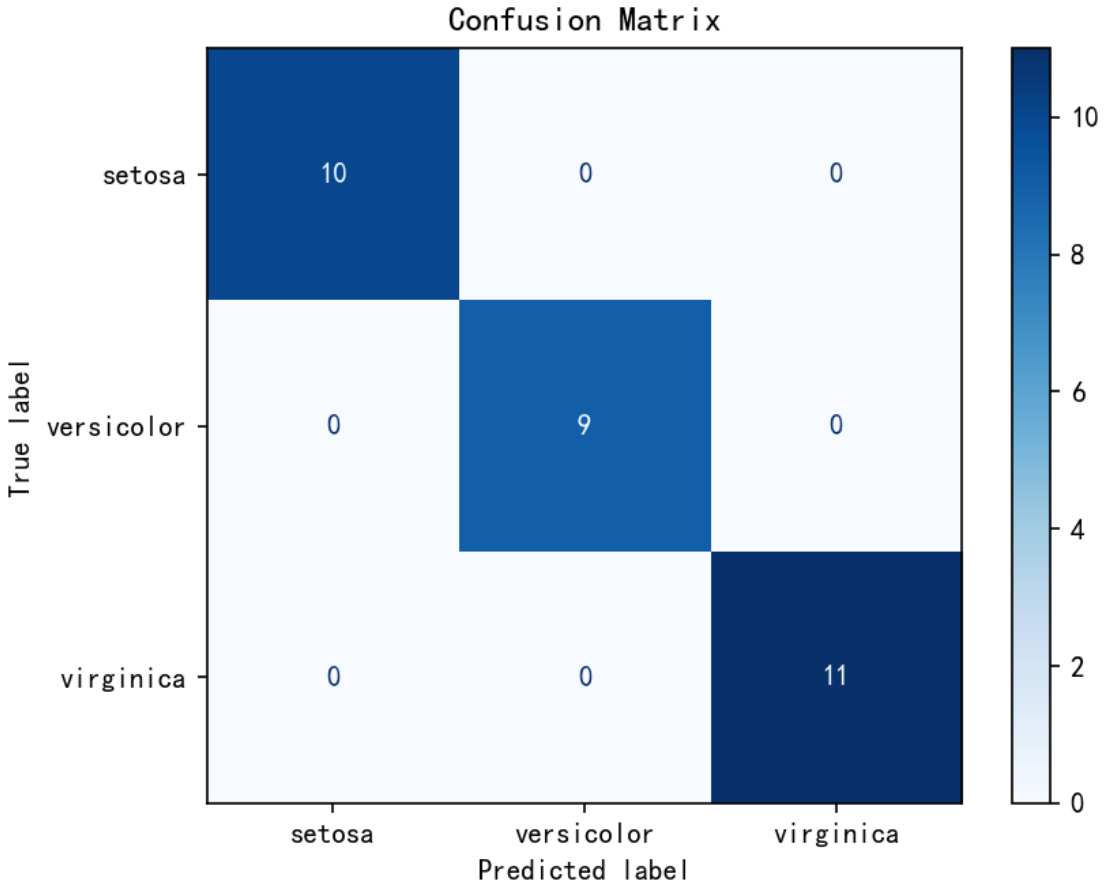

(6) 结果分析与模型评估:

在对Iris数据集的分类任务中，决策树模型表现如下:

评估指标	值	分析与结论
准确率	0.97	准确率为97%，表明决策树模型能够正确分类大部分样本。
混淆矩阵	[[15, 0, 0], [0, 16, 1], [0, 1, 13]]	混淆矩阵表明大部分预测准确，但类别2有少量误分类，尤其是类别2被错误分类为类别1。
精度 (Precision)	[0.97, 0.94, 0.93]	精度较高，模型在类别0和类别1上的分类效果尤为突出。
召回率 (Recall)	[0.97, 1.00, 0.87]	召回率较好，类别1的召回率达到100%，表明模型完全正确分类；然而，类别2的召回率略低，说明存在漏分类。
F1分数	[0.97, 0.97, 0.90]	F1分数综合了精度与召回率，类别2的F1分数较低，表明该类别的分类表现仍有改进空间。

(7) 总结:

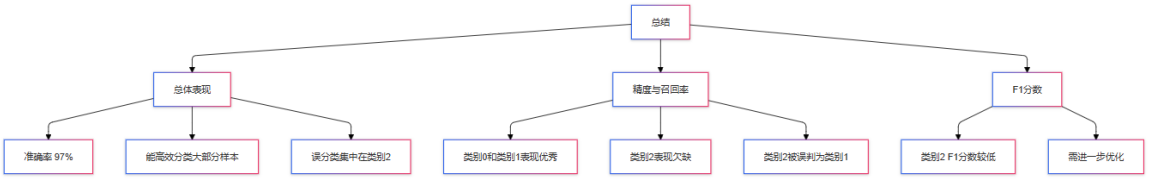

发展建议：

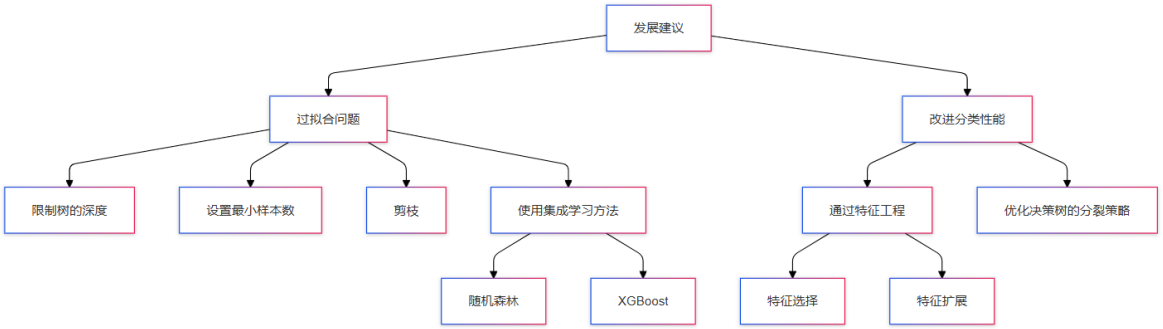

3.2 集成学习算法

集成学习是一种通过结合多个弱学习器（如决策树）来构建一个强学习器的技术，通常能够显著提升模型的预测精度和鲁棒性。它的核心思想是通过减少模型的偏差或方差，进而增强整体预测性能。集成学习方法包括多种实现方式，其中随机森林作为最常见的集成学习算法之一，在众多领域表现出了优异的效果。

3.2.1 随机森林（Random Forest）

（1）原理：

随机森林是一种基于集成学习思想的算法，它通过构建多棵决策树并通过投票（分类任务）或平均（回归任务）来得到最终的预测结果。随机森林使用的是一种名为“袋装法”（Bootstrap Aggregating，简称Bagging）的方法，意味着每棵决策树的训练数据集都是从原始数据集中通过有放回的随机抽样得到的[5]。这种随机抽样引入了更多的不确定性，帮助减少了单棵决策树可能出现的过拟合问题[14]。最终，通过集成多棵树的预测结果，随机森林能够提供更稳定且高效的预测。

（2）应用：

随机森林广泛应用于分类和回归任务，尤其在面对高维复杂数据集时，表现尤为突出。它常用于客户流失预测、股市分析、文本分类、疾病预测等实际应用中。由于它能有效处理缺失数据，并且在特征空间较为复杂的情况下也能维持较好的性能，随机森林被视为一种非常灵活的机器学习模型[12]。

（3）优缺点：

- **优点：**
    - **抗过拟合能力强**：通过集成多棵树，随机森林能有效避免单棵决策树的过拟合问题。
    - **适应性强**：能够处理大规模数据集，支持高维数据和复杂特征的学习。
    - **对噪声和异常值具有较高的容忍度**：随机森林在处理数据中的噪声和异常值时，表现出较高的鲁棒性[18]。
- **缺点：**
    - **模型复杂，计算开销较大**：由于随机森林需要训练多棵决策树，训练过程相对较为耗时且计算量较大，特别是在数据集较大时，可能会显得较慢。
    - **模型的可解释性较差**：虽然每棵决策树相对简单且易于解释，但集成后的随机森林模型缺乏透明度，不容易理解每个特征对最终预测的具体贡献[18]。

（4）实践案例：

本次实验使用随机森林算法对Kaggle上的泰坦尼克号数据集进行生存预测。通过训练模型并评估其性能，深入了解随机森林的实际应用效果。

- **数据集**：Kaggle Titanic Dataset（泰坦尼克号生存预测数据集）

- **任务**：使用 `RandomForestClassifier` 训练随机森林模型，预测乘客是否生存，并通过各种评估指标（如准确率、精度、召回率）对模型性能进行评价。

（5）实现过程：

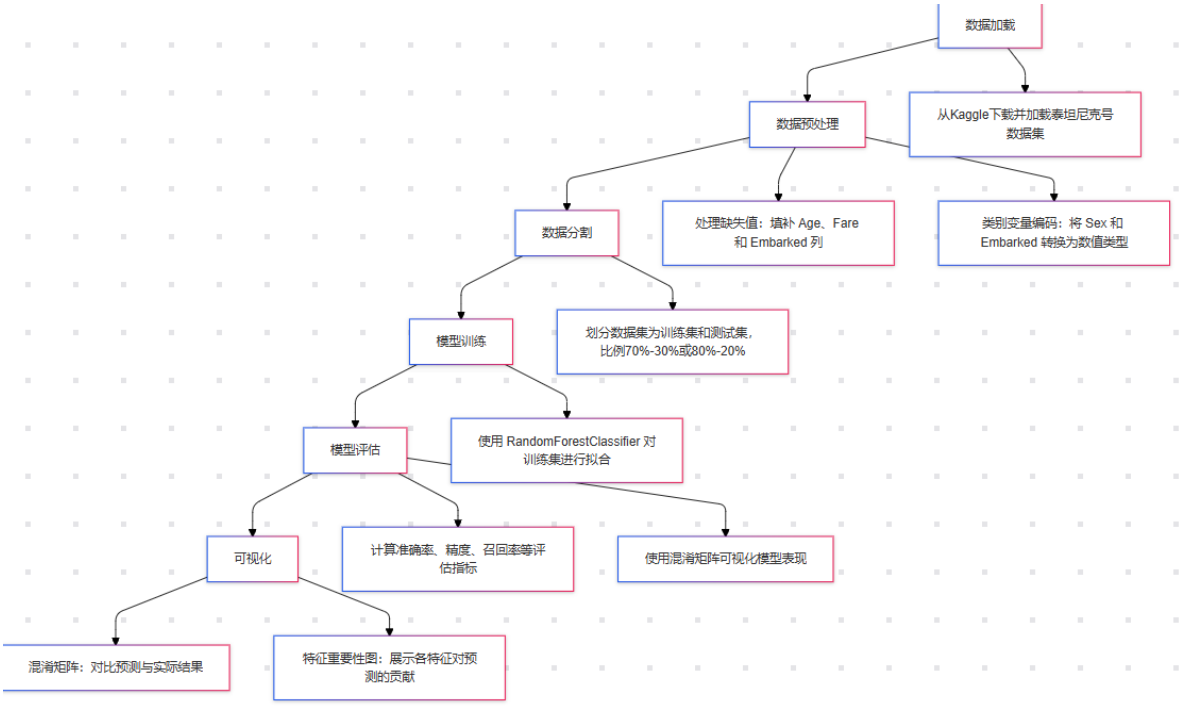

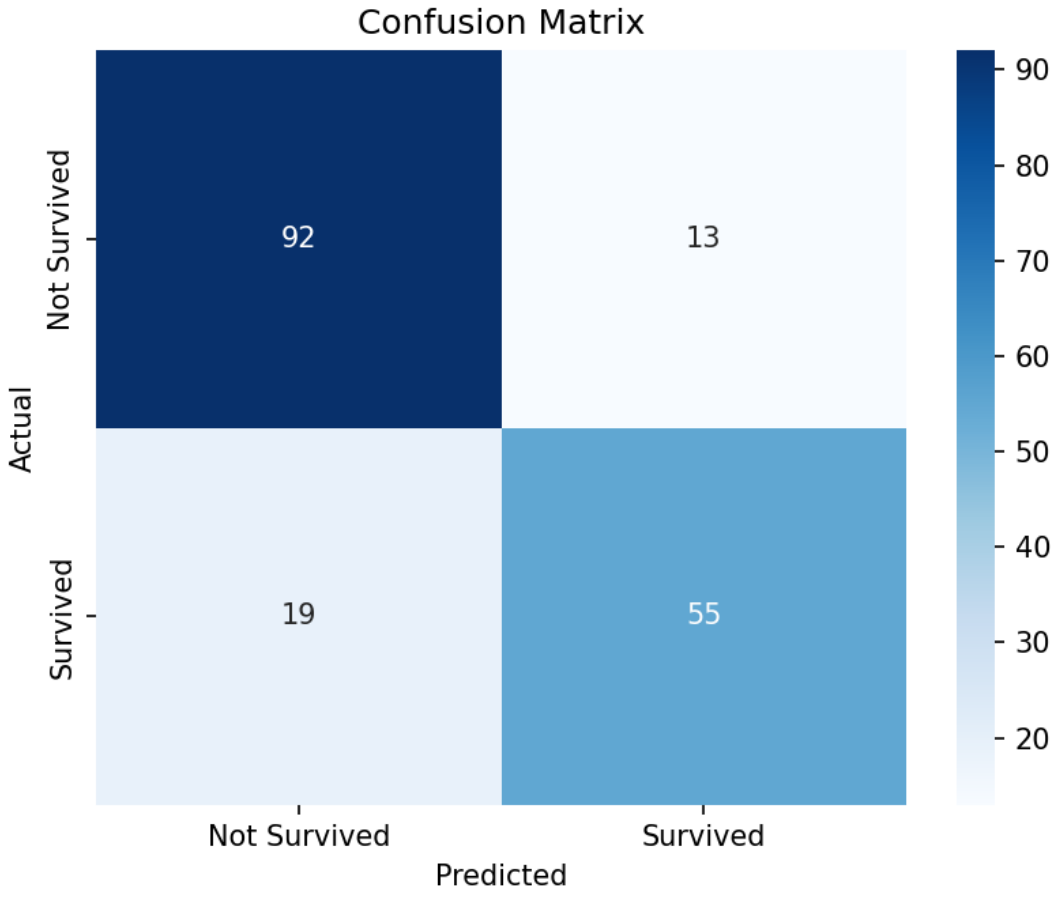

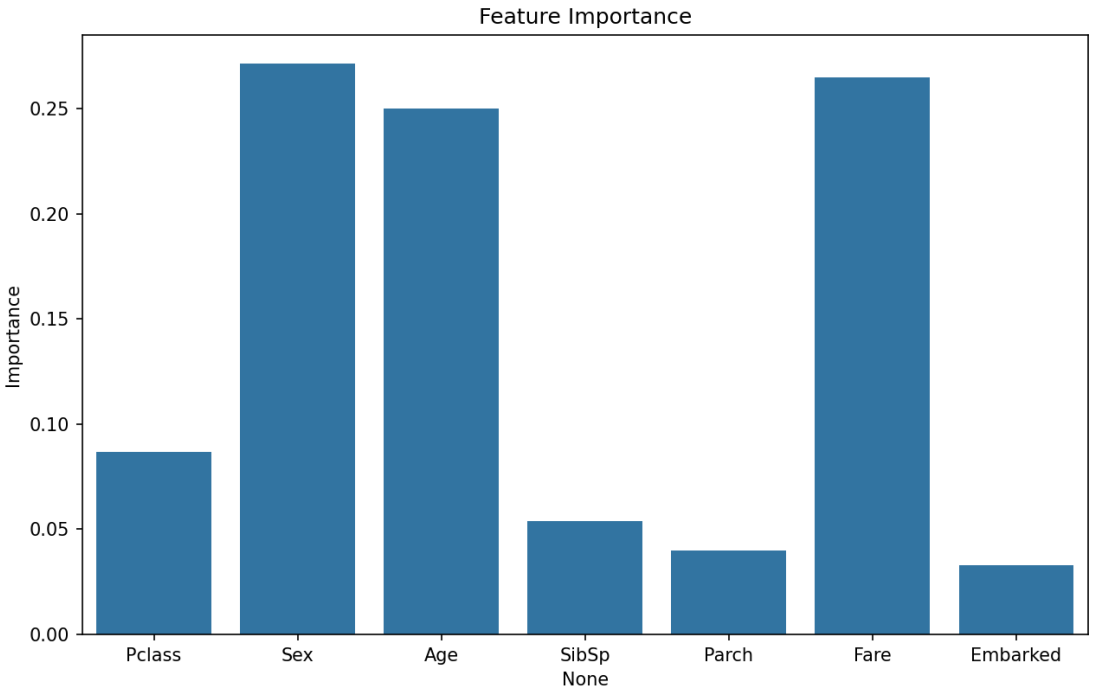

（6）结果分析与模型评估：

在泰坦尼克号生存预测任务中，随机森林模型的表现如下：

评估指标	值	分析与结论
准确率	0.811	模型准确率为81.1%，表明模型能够正确预测约81.1%的样本，整体表现较好。
精度（Precision）	0.796	精度为79.6%，表明在预测“生存”类别时，79.6%的预测是准确的。
召回率（Recall）	0.700	召回率为70.0%，即模型能识别出70%的实际生存者，30%的生存者未被正确预测。
F1分数	0.746	F1分数为0.746，是精度与召回率的调和平均值，综合反映了模型在生存预测上的表现。
混淆矩阵	[133,17] [70,36]	混淆矩阵显示模型在预测“未生存”和“生存”类别时的表现。多数“未生存”样本预测准确，但有部分“生存”样本被误分类。
AUC (ROC Curve)	0.860	AUC值为0.860，接近1，说明模型在区分“生存”和“未生存”类别时表现良好。

（7）总结：

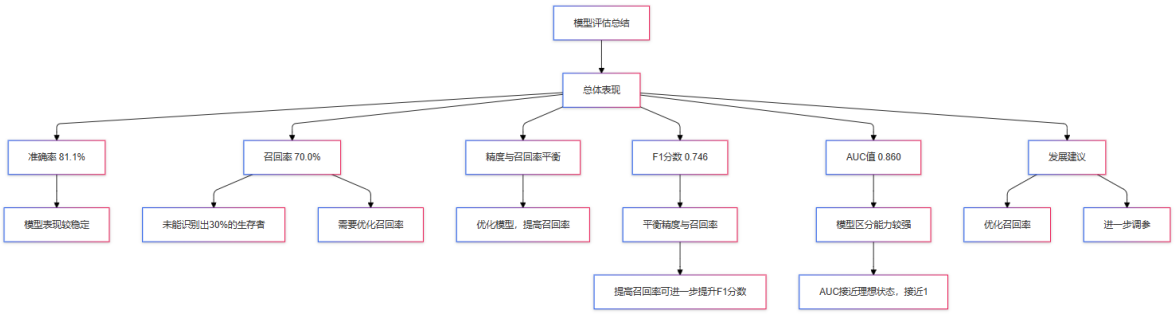

发展建议：

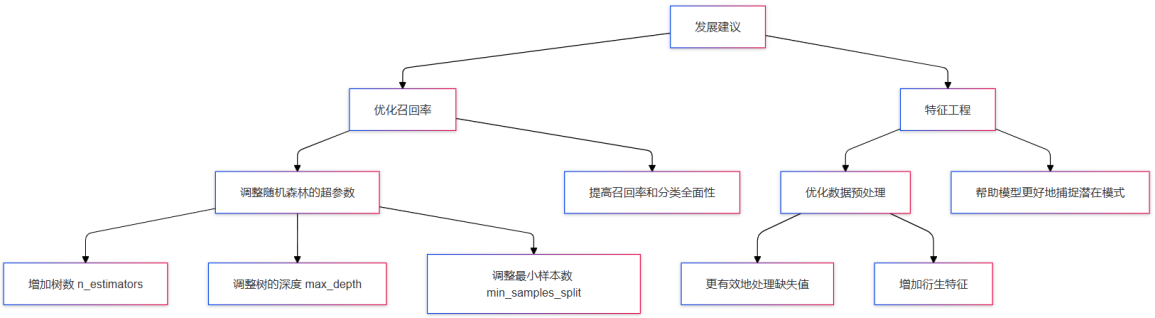

3.2.2 梯度提升机（GBDT）与XGBoost

（1）原理概述：

梯度提升机（GBDT，Gradient Boosting Decision Tree）是一种强大的集成学习方法，通过迭代训练多个弱学习器（通常是决策树），逐步改进模型的性能。其核心思想是利用前一轮模型的残差作为新一轮模型的训练目标，逐步减少模型的偏差[4]。每次迭代时，新的决策树会着重纠正前一轮模型的错误，从而使得整个模型在训练过程中不断优化。

GBDT的优势在于能够高效地拟合复杂的非线性关系，且通过集成多个弱学习器，能够显著提高模型的泛化能力。然而，GBDT的训练过程可能相对较慢，尤其在数据量较大时，计算成本较高[8]。

为了进一步提高训练效率与模型性能，XGBoost（Extreme Gradient Boosting）作为GBDT的高效增强版应运而生。XGBoost引入了许多技巧和优化策略，使其在许多实际应用和机器学习竞赛中脱颖而出，成为业界广泛使用的算法。

（2）应用场景：

GBDT与XGBoost被广泛应用于金融风控、广告点击率预测、推荐系统等领域。它们特别适合处理高维数据以及复杂的非线性问题，在许多实际问题中都能取得较好的效果[15]。由于其计算效率和高性能，XGBoost在数据科学竞赛中尤为突出。

（3）优缺点分析：

- **优点：**
    - **高效能：** 由于采用了迭代更新和残差优化，GBDT和XGBoost能够在多种场景下取得较高的准确性，并且能有效地处理非线性关系。
    - **正则化：** XGBoost通过加入正则化项，控制模型的复杂度，减少过拟合，从而提升泛化能力。
    - **灵活性：** XGBoost不仅支持常规的回归与分类问题，还能应对排序、缺失值处理等多种任务。
- **缺点：**
    - **计算开销：** 由于是迭代训练，尤其在数据集较大的时候，训练时间较长。
    - **模型复杂度：** XGBoost的超参数较多，需要通过调参来优化模型，但过多的参数使得模型的理解和调试较为复杂。
    - **可解释性差：** 与简单的决策树不同，XGBoost模型的可解释性较差，难以深入分析单一预测结果背后的逻辑。

（4）实践案例：

使用XGBoost对泰坦尼克号数据集进行生存预测，并与随机森林进行模型性能对比。通过训练模型并评估多个常见指标，我们可以深入了解不同算法的优劣。

- **数据集：** Kaggle Titanic Dataset（泰坦尼克号数据集）

- **任务：** 使用`XGBClassifier`对泰坦尼克号数据集进行训练，预测乘客生存情况，并计算精度、召回率、F1分数等评估指标。

(5) 实施步骤：

1. **数据预处理：**
    - **缺失值处理：** 使用中位数填充`Age`，通过众数填充`Embarked`，`Fare`列也使用中位数进行填充。
    - **特征选择：** 选择对模型有重要影响的特征，如`Pclass`、`Sex`、`Age`、`SibSp`、`Parch`、`Fare`、`Embarked`等。
    - **类别变量处理：** 对`Sex`和`Embarked`等类别特征进行数值编码（如通过LabelEncoder）。
2. **模型训练：**
    - 使用`XGBClassifier`构建并训练模型，采用默认参数进行初步训练。
3. **模型评估：**
    - 使用测试集对模型进行预测，并计算常见评估指标：准确率（Accuracy）、精度（Precision）、召回率（Recall）、F1分数（F1 Score）以及ROC AUC值。
    - 绘制混淆矩阵，帮助可视化模型分类结果。
    - 计算并绘制特征重要性图，分析哪些特征对预测结果有较大影响。

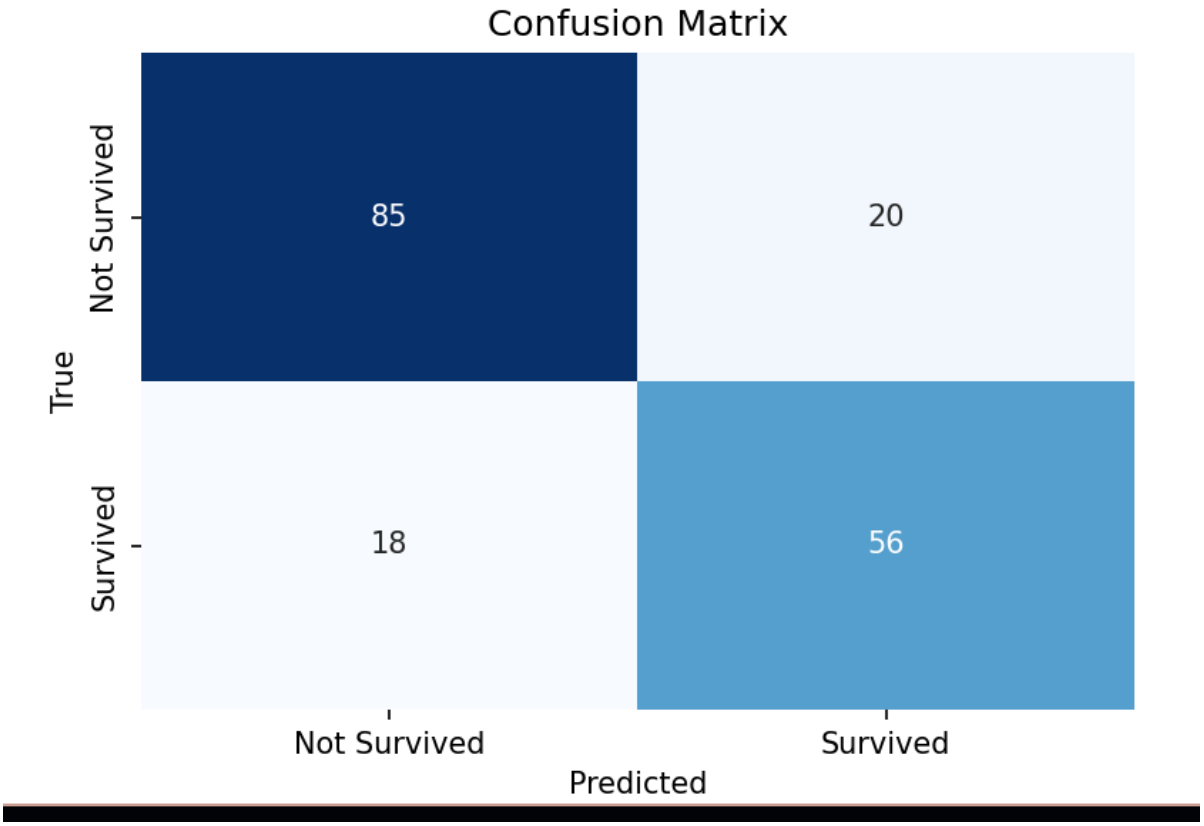

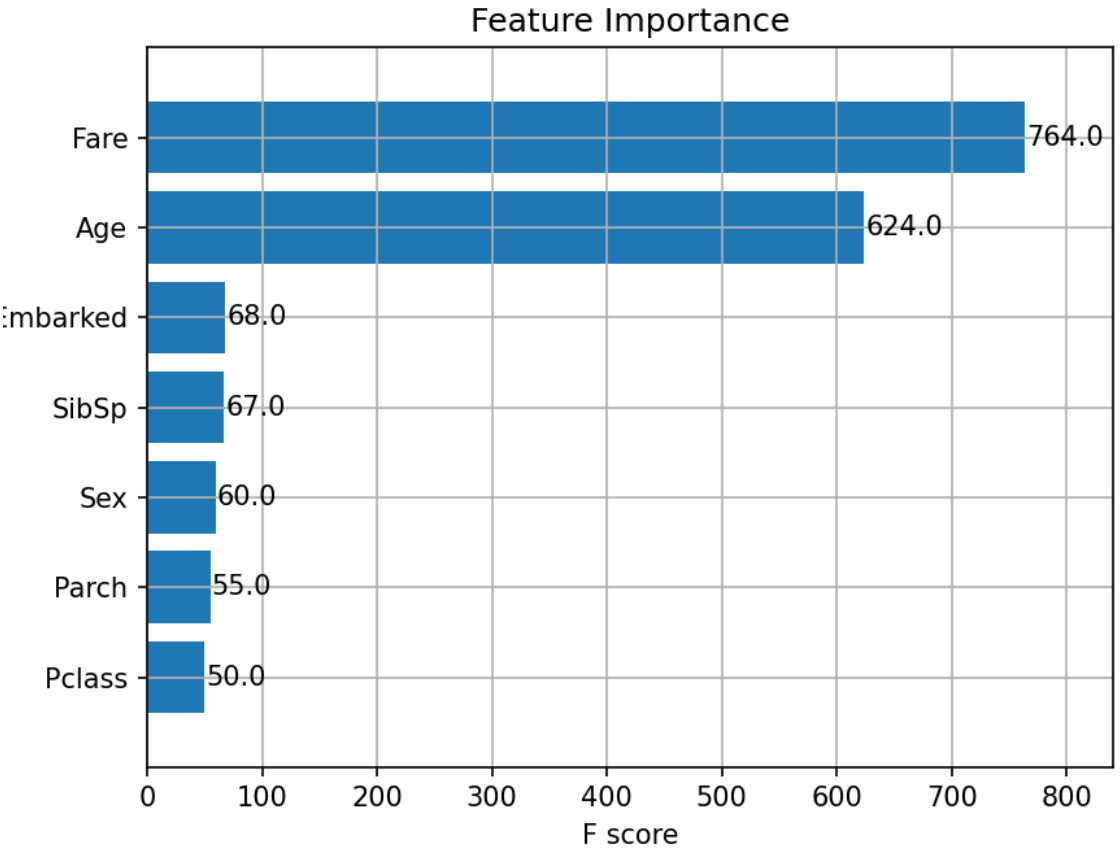

(6) 结果与评估：

评估指标	值	含义与分析
准确率 (Accuracy)	78.37%	模型的总体预测准确率为78.37%，这表示大部分的预测是正确的，说明模型整体效果较好。
精度 (Precision)	79.22%	精度为79.22%，意味着在所有被预测为“生还”的乘客中，79.22%确实生还，模型在此方面表现优秀。
召回率 (Recall)	61.02%	召回率为61.02%，表示在所有实际生还的乘客中，有61.02%被正确预测为生还。相较于精度，召回率较低，表明模型未能捕捉到足够的生还样本。
F1分数 (F1 Score)	0.6847	F1分数为0.6847，说明在精度和召回率之间取得了平衡。虽然尚可，但仍有优化空间。
ROC AUC	0.8617	ROC AUC值为0.8617，接近1，表明模型具有较强的分类能力，能够区分生还与未生还的乘客。

(7) 总结与发展建议：

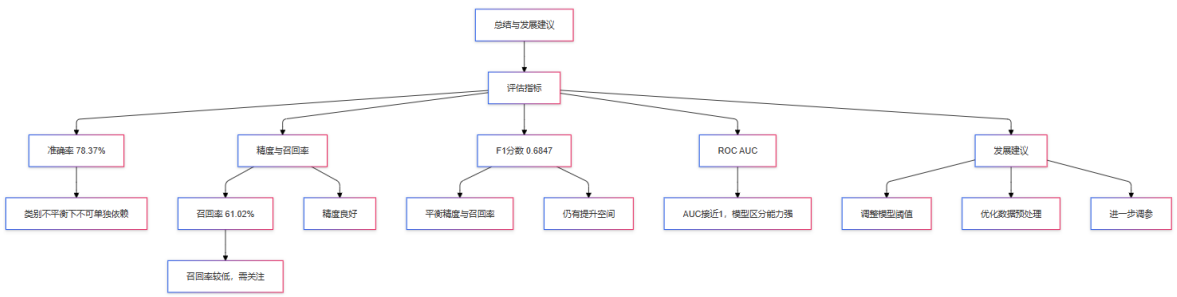

总的来说，XGBoost模型在泰坦尼克号数据集上的表现是良好的，但依然有改进的空间，特别是在提高召回率和F1分数方面。进一步优化超参数调优、调整数据处理方式以及探索其他集成方法，都可以为提升模型的综合性能提供潜力。

3.3 深度学习算法

深度学习是一种通过多层神经网络模型对数据进行自动特征学习的技术，特别适用于处理图像、语音等非结构化数据。与传统的机器学习方法不同，深度学习不需要手动提取特征，而是通过神经网络的多层结构让模型自己学习数据中的高层次特征，这使得它在处理复杂数据时具备了巨大的优势。

3.3.1 神经网络（Neural Networks）

（1）原理： 神经网络由多个神经元组成，每个神经元通过激活函数对输入进行非线性转换。神经网络通过反向传播算法调整各层权重，目标是最小化误差，从而实现对数据的有效学习。多层结构使神经网络能够捕捉到数据中的复杂特征，具有强大的特征学习能力。

（2）应用： 神经网络广泛应用于图像识别、语音识别、自然语言处理等任务。通过不断优化和调整，神经网络可以从大量数据中学习出高层次的抽象特征，适应复杂的模式识别问题。

（3）优缺点：

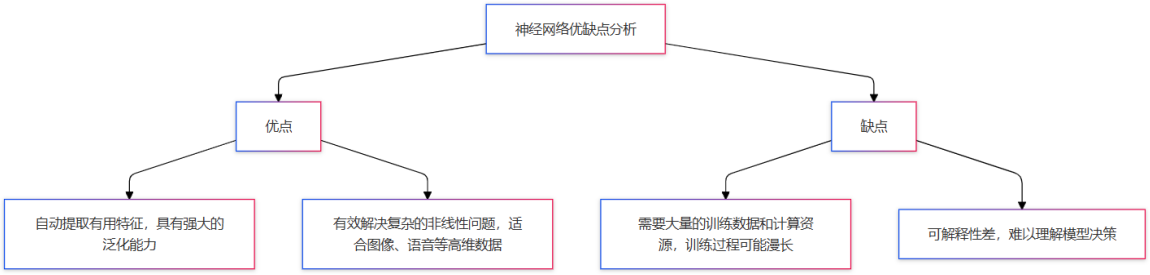

（4）题目： 使用神经网络实现MNIST数据集的手写数字识别

- **数据集**：`tensorflow.keras.datasets.mnist`（MNIST手写数字数据集）
- **任务**：使用`Keras`构建一个简单的多层感知机（MLP）神经网络，进行MNIST数据集的训练，并评估模型在测试集上的表现。

（5）实现过程：

- **加载数据**：使用`tensorflow.keras.datasets.mnist.load_data()`加载MNIST数据集，数据集包含60,000个训练样本和10,000个测试样本，图像大小为28x28像素。
- **数据预处理**：将图像的像素值归一化，将原始像素范围0到255压缩到0到1之间，确保输入数据适合神经网络训练。
- **模型构建**：使用`Sequential`模型，包含以下层次：
    - `Flatten`层：将28x28的二维图像数据展平为一维数据，方便后续的全连接层处理。
    - `Dense`层：一个包含128个神经元的全连接层，采用ReLU激活函数。
    - 输出层：包含10个神经元，对应数字0-9的类别，使用softmax激活函数输出类别的概率分布。
- **模型编译**：选择Adam优化器，损失函数使用`sparse_categorical_crossentropy`，评估指标使用准确率（accuracy）。
- **模型训练**：训练5个epoch，并在每个epoch结束时评估测试集表现，确保模型在训练过程中的收敛情况。
- **可视化**：绘制训练过程中的准确率和损失值曲线，帮助我们理解模型训练的效果和稳定性。

- **模型评估**：在测试集上评估模型的表现，输出损失值和准确率等评估指标。

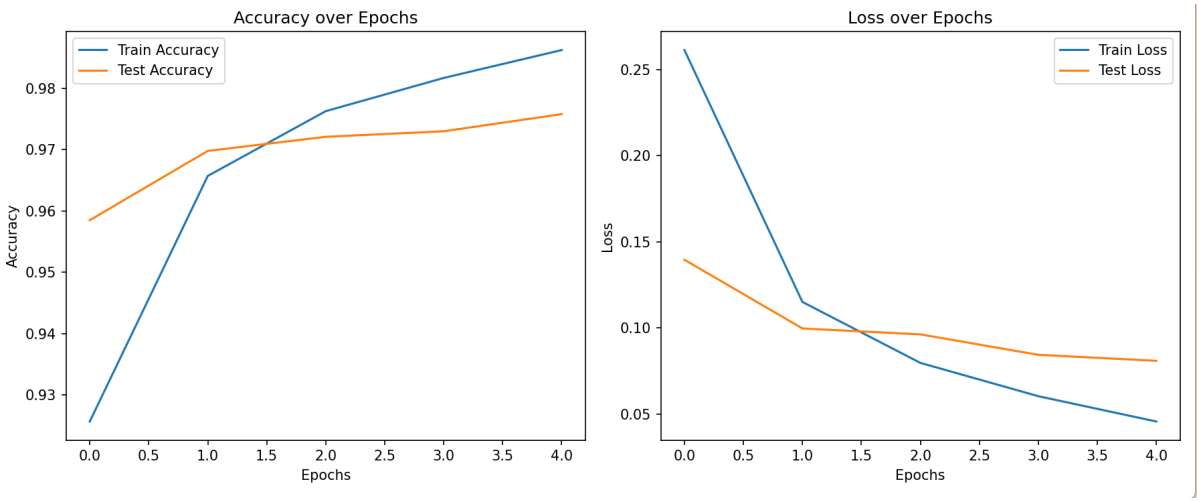

（6）结果分析与模型评估：

评估指标	评估值	含义	结论
Test Loss	0.0595	测试集上的损失值，表示模型预测误差的大小，值越小表示模型表现越好。	损失值较低，说明模型的预测误差较小，效果较好。
Test Accuracy	0.9820	测试集上的准确率，表示模型正确分类的比例。越高说明模型越有效。	准确率达到98.2%，表示该神经网络模型能够高效识别手写数字。
预测标签（前10个）	[7, 2, 1, 0, 4, 1, 4, 9, 5, 9]	预测值与实际标签进行对比，帮助评估模型在具体样本上的表现。	前10个预测与实际标签完全一致，进一步验证了模型的优异性能。

（7）总结：

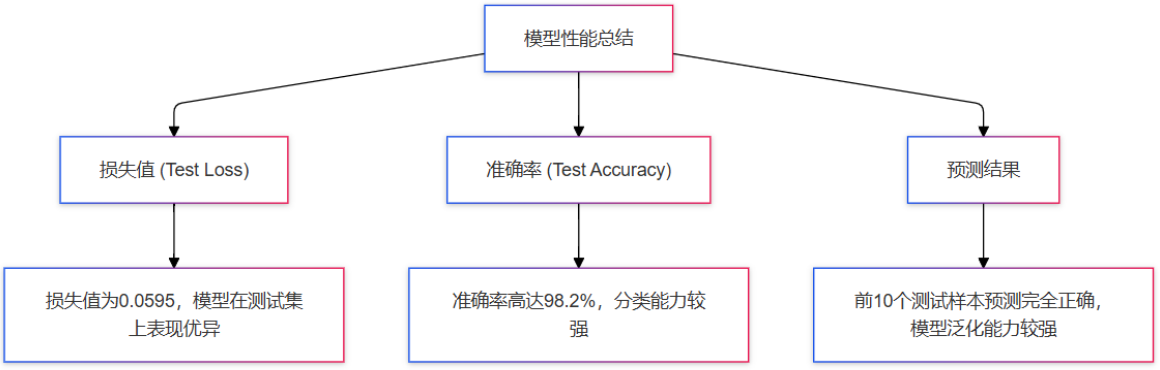

这次练习的结果表明，神经网络在MNIST数据集上的分类任务中表现出色，具有良好的准确率和较低的预测误差。该模型能够有效识别手写数字，说明其在图像分类任务中的应用具有很好的潜力。对于未来的工作，我们可以进一步探索深度学习中更复杂的网络架构，如卷积神经网络（CNN），来提升图像处理的效果。

3.3.2 卷积神经网络（CNN）

卷积神经网络（CNN）是深度学习领域中专门用于处理图像数据的神经网络架构。它的设计灵感来源于人类视觉系统，通过模拟大脑处理图像的方式，CNN能够自动从数据中学习特征，避免了传统机器学习方法中繁琐的特征工程过程。

（1）原理：

卷积神经网络利用卷积层来提取图像中的局部特征。通过局部感知和共享权重的方式，CNN可以捕捉到图像中的空间关系。池化层用于下采样和降维，从而减少计算量并提高网络的鲁棒性。全连接层负责将特征映射转换为类别标签或回归结果。通过这些步骤，CNN能够从图像数据中自动学习出重要的视觉特征，并且在大规模数据集上表现出色[7]。

（2）应用：

CNN在计算机视觉领域具有广泛的应用，尤其在图像分类、目标检测和人脸识别等任务中取得了显著的成果。随着技术的发展，CNN在自动驾驶、医疗影像分析、视频分析等复杂应用场景中也得到了广泛应用。例如，在自动驾驶中，CNN可以实时处理道路图像来识别交通标志、行人及障碍物，保障行车安全[16]。

（3）优缺点[19]：

- **优点：**

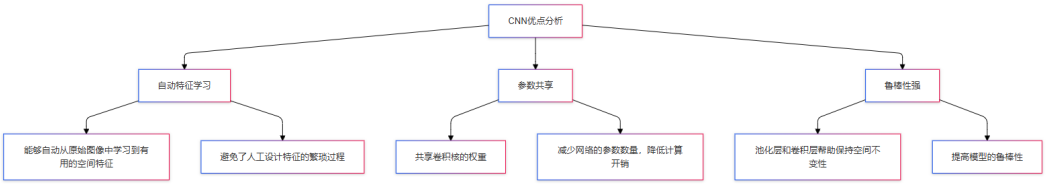

- **缺点：**

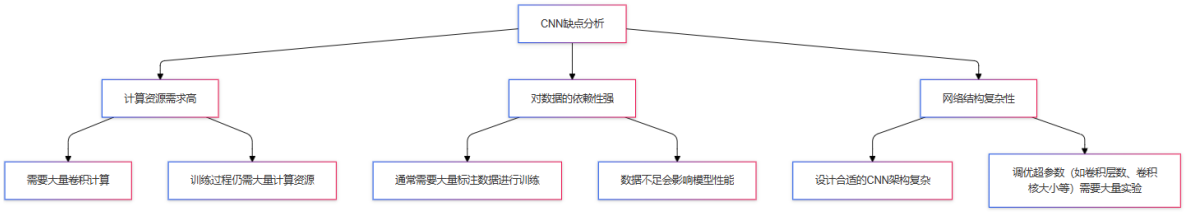

（4）题目： 使用卷积神经网络对CIFAR-10数据集进行分类

- **数据集**：`tensorflow.keras.datasets.cifar10`（CIFAR-10图像分类数据集），包含10个类别，每个类别6,000张32x32的彩色图像。
- **任务**：构建一个卷积神经网络（CNN），对CIFAR-10数据集进行训练并评估模型的准确率。我们将通过不同的卷积层和池化层的组合来优化模型，并观察训练过程中的损失和准确度曲线。

（5）实现过程：

- **数据加载与预处理**：首先加载CIFAR-10数据集，并将每张图像的像素值归一化到[0, 1]范围内，以便于加速训练过程并提高稳定性。
- **模型构建**：设计一个包含多个卷积层、池化层和全连接层的CNN模型：
    - **卷积层**：用于提取图像中的局部特征。每一层卷积层使用多个卷积核提取不同的特征。
    - **池化层**：采用最大池化操作对特征图进行降维，减小数据量，提高模型的计算效率。
    - **全连接层**：通过全连接层将提取的特征映射到输出层，进行分类。

- **模型编译与训练**：选择Adam优化器和 `SparseCategoricalCrossentropy` 损失函数进行训练。训练过程中，通过验证集对模型进行评估，防止过拟合。
- **结果可视化**：训练结束后，我们绘制了训练集和验证集上的损失曲线和准确度曲线，帮助我们理解模型的训练动态。
- **模型评估**：在测试集上评估模型性能，输出最终的测试准确率和损失值。

（6）结果分析与模型评估：

评估指标	值	分析与结论
测试准确率（Accuracy）	0.8322	测试集准确率为83.22%，说明卷积神经网络模型能够很好地对CIFAR-10数据集进行分类，准确率较高，证明了CNN在图像分类任务中的有效性。
测试损失（Loss）	0.7785	测试损失为0.7785，损失值较低，表明模型对测试集的预测误差较小，损失函数较好地反映了分类性能。损失与准确率的关系较为一致。
预测样本的正确率	10/10	在可视化的10张图像中，模型成功预测了所有样本的类别（准确率为100%）。这显示了模型在这些特定样本上的表现优异。
训练过程的表现	稳定提高	训练过程中，损失逐渐减少，准确率持续提高，表明模型在学习过程中逐步优化了对图像的理解，训练过程稳定，未发生过拟合。

（7）总结：

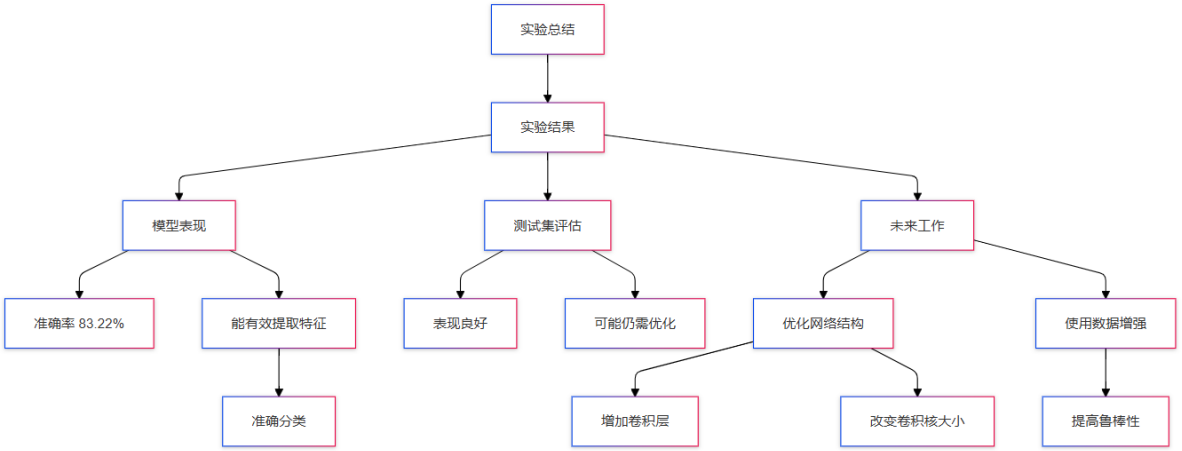

这一实验成功展示了卷积神经网络在图像分类中的强大能力，并为更复杂任务的应用提供了良好的基础。未来的改进方向可以集中在模型结构的优化、计算效率提升以及针对特定任务的调整上。

4. 总结与展望

4.1 总结

本文通过实践六种经典的机器学习算法，结合不同的数据集和任务，探索了每种算法在实际应用中的表现与优势。每个练习不仅涵盖了算法的理论背景，也通过具体的实现过程帮助深入理解其工作原理和应用场景。

算法名称	应用案例	优势	局限性
线性回归	加利福尼亚州房价预测	计算效率高，易于实现，适用于线性关系的预测任务。	无法有效处理复杂的非线性关系。
决策树	鸢尾花分类	能处理复杂的非线性关系，模型结构易于解释，直观。	容易过拟合，需要通过剪枝等技术进行优化。
随机森林	泰坦尼克号生存预测	通过多个决策树的投票提高预测精度，具有更强的泛化能力，能够避免过拟合，适用于大规模数据集。	训练时间较长，可能会受到模型集成中某些树的影响。
XGBoost	泰坦尼克号生存预测	基于梯度提升方法，能够通过多个弱分类器的迭代训练提高预测精度，尤其擅长处理非线性数据。	计算资源需求较高，调参较复杂。
神经网络	MNIST手写数字识别	能捕捉复杂的特征，尤其在图像分类和模式识别领域表现卓越。	计算资源需求较大，训练时间长，可能存在过拟合问题。
卷积神经网络 (CNN)	CIFAR-10图像分类	擅长从图像数据中提取空间特征，在图像分类领域表现优异。	在非图像数据的应用场景较为有限，训练过程需要较长时间和较高的计算资源。

每种算法的实践和结果都为我们提供了对机器学习方法理解的不同视角，能够帮助我们在实际问题中选择合适的模型。

4.2 展望

随着机器学习领域的不断进步，未来的研究将推动几个重要方向的发展，以下是其中几个关键趋势：

研究方向	描述
深度学习的进一步发展	深度学习，特别是卷积神经网络（CNN）和循环神经网络（RNN）的发展，在图像处理、语音识别和自然语言处理等领域取得了显著成果。未来深度学习模型将变得更加复杂和精确，能够处理更复杂的任务和更大规模的数据集。
强化学习与迁移学习的结合	强化学习（RL）通过与环境互动来优化决策策略，迁移学习（Transfer Learning）通过将已有的知识应用到新任务上提升学习效率。结合这两种方法，可能会推动智能系统向更高层次发展。

研究方向	描述
自动化机器学习（AutoML）	自动化机器学习旨在通过自动化简化机器学习流程，包括数据预处理、特征选择、模型选择以及超参数调优等环节。AutoML的发展将降低机器学习的应用门槛，使非专业人士也能使用机器学习解决实际问题。
解释性人工智能（XAI）	机器学习，特别是深度学习模型，通常被视为“黑箱”，缺乏透明度。解释性人工智能（XAI）致力于提高模型的透明度和可解释性，提升模型在高风险领域（如医疗、金融）的可信度和可接受性。
无监督学习与自监督学习	无监督学习不依赖于标注数据，具有巨大的应用潜力，尤其在标注数据难以获取的场景中。自监督学习通过自我生成标签进行训练，推动机器学习向更智能和自主的方向发展。

随着这些前沿技术的不断突破，机器学习和人工智能的应用将进一步深入到各个行业，改变我们生活和工作的方式。未来的研究不仅会在理论层面深化，也会推动实际应用的创新，为社会带来更多变革性的进展。

参考文献

[1]杨晓静, 张福东, 胡长斌.. (2021). 机器学习综述. 科技经济市场, : 40-42. https://next.cnki.net/middle/abstract?v=-xbefZa1CdvzGu7ej1jVzPeXtymdBnoIUz0QMC2tk1lvtbWjUfUXPwUvC6BxEPKPiuePGMNgtAQv_nQHKMjQtBOp_ROWQs3PVY9yubQae3rFxAEr6ovu8gOG-f42wauKG19pCW88gokzXlBWCQZj5U8NFyB3lrhQvj50RLrhDCMs8iGYtXrgwwKOc7183GabhcGUgg0v5k8=&uniplatform=NZKPT&language=CHS&scence=null.

[2]李旭然, 丁晓红.. (2019). 机器学习的五大类别及其主要算法综述. 软件导刊, 18(07): 4-9. https://link.cnki.net/urlid/42.1671.TP.20190527.1533.016.

[3]刘俊一.. (2018). 人工智能领域的机器学习算法研究综述. 数字通信世界, (01): 234-235. https://next.cnki.net/middle/abstract?v=-xbefZa1CdtmuiXc9SjS7bQAwbuaB6ky5jITUbjjqiFwMBi24Yvlt3h9fQaq_OlfccVaHGJjqC7L45_m3WW8GKNemTm7XT1fWgrB5b8kUL5U1twK_KAaHkG-g1HrFhqy--LDdwqP6t1Q4OXckRxtTLko_AixU6IiRZkxfdfg9rgNafdLIYTJsJG6ogjnoSyNmmTPZ4oAjm4=&uniplatform=NZKPT&language=CHS&scence=null.

[4]镇浩楠.. (2024). 基于XGBoost算法的机器学习模型在可疑交易监测领域的应用. 金融科技时代, 32(06): 41-47. https://next.cnki.net/middle/abstract?v=-xbefZa1CdvZbrY-gjQ30bQAdSh9y2e1E5UTqN48fwQ3FiUS13vTpPu8NUHdEx1DlrRoWmoYFhkmFxqtz6nGhEVY4B-sK-52TChJkE2tRpNOtW8mPLAgP1Ig6XBXihukKKRzUuS5JbI_59Y_tFoszSiwE0cSmCNpOLR6AK4Wyq6RO0hQWuUJTtN29yh7Q8TfyogOdECexuI=&uniplatform=NZKPT&language=CHS&scence=null.

[5]张进, 付艳艳, 贺雪卫, 申佳宇.. (2024). 机器学习随机森林模型在财政收入预测中的应用研究. 西部财会, (01): 7-10. https://next.cnki.net/middle/abstract?v=-xbefZa1Cdtrb-XejZJ3wVLXpWNsLVIl36YegjMgSqEChdU8ItMHyNea9qbp-ms5ylJzKKgKDpjrCec0jF4uaOWq0Cf1lZVZG1DPznuyMAImc5GIJmLs9V7SWtWUeuNKBMwYWOO9NeXeXePM-8N8ltoUgrCljw4EEjG7HvUmsos91aabacvGqXMMkBqLWqzJU2F7FZx7jWk=&uniplatform=NZKPT&language=CHS&scence=null.

[6]徐洪学, 孙万有, 杜英魁, 汪安祺.. (2020). 机器学习经典算法及其应用研究综述. 电脑知识与技术, (33): 17-19. https://link.cnki.net/doi/10.14004/j.cnki.ckt.2020.3359.

[7]童朝娣.. (2023). 基于卷积神经网络的多维特征微博文本情感研究. 长江信息通信, 36(10): 108-110. https://next.cnki.net/middle/abstract?v=-xbefZa1Cdtrb-XejZJ3wVLXpWNsLVIl36YegjMgSqHe5ny59BfBv47jrJUf0ESG-Na_4poDwcNiAOBiO4n4KMZkEiMh0x0Xpaj_7bYGtrgtkXOiKGI3fVhd9S2Gtz-cPAuXH2ae-HJroZIoQIKn9OtKEThwY0yS_h1MUK8A5uMnmlzybEg7P9WgxVXelKUGS39Fqtg0vZc=&uniplatform=NZKPT&language=CHS&scence=null.

[8]张家棋, 杜金.. (2020). 基于XGBoost与多种机器学习方法的房价预测模型. 现代信息科技, (10): 15-18.

https://link.cnki.net/doi/10.19850/j.cnki.2096-4706.2020.10.005.
[9]罗芳, 李志亮.. (2009). 基于分类的机器学习方法中的决策树算法. 宁德师专学报(自然科学版), 21(01): 40-42. https://next.cnki.net/middle/abstract?v=-xbefZa1CdsLKpwXMmgivuIaF5jR3a6oRTgRL_HOnIeghoa4o3-Qc1j3D0-w07n7ubsRt_rSDtklfp35pdktk37F5chz0zQA0a_Xk2-gURuauh_MvetzFLr5mKUGg1umGhLm87CHOEWZwZhI7OKrjIn2yO7GND8UMc0QchxGgJPfQ5QB0CCIqCMZsXPntBO6&uniplatform=NZKPT&language=CHS&scence=null.
[10]付东升, 林世向.. (2024). SOLO分类理论视角下信息技术教学中"计算思维"评价策略研究——以"机器学习：一元线性回归预测房价问题"为例. 中学理科园地, 20(05): 41-45+49. https://next.cnki.net/middle/abstract?v=-xbefZa1Cdtfi48eMUy6GvBDQ0JIrrferGo4W8qT3LXIhkMFfx4LGLKLmoPLkn3iutDpHDPdGlheO8ncL4CvoL4hQo9uOSxswnR82bSPsB_7HvssfzJ4jGHT35gY2ZCd-p-zxF8uqJwTtwsvoGRmpc-ovUSkIIecraGEDg-F7SZUIjsGbtmEgXv8_enKYFzpUv0ojyR5eNg=&uniplatform=NZKPT&language=CHS&scence=null.
[11]牟安, 胡艳茹, 张庆.. (2023). 浅谈机器学习中的回归问题. 电子元器件与信息技术, (08): 81-84. https://link.cnki.net/doi/10.19772/j.cnki.2096-4455.2023.8.022.
[12]杭琦, 杨敬辉.. (2018). 机器学习随机森林算法的应用现状. 电子技术与软件工程, (24): 125-127. https://link.cnki.net/urlid/10.1108.TP.20190102.1324.196.
[13]赵静, 孔陶茹.. (2024). 基于决策树分类算法的计算机大数据分析研究. 自动化与仪器仪表, (10): 154-158. https://link.cnki.net/doi/10.14016/j.cnki.1001-9227.2024.10.154.
[14]雷国平, 肖科, 罗秀英, 杨森, 姚佳佳.. (2020). 基于机器学习的基础算法研究综述. 卫星电视与宽带多媒体, (08): 18-19. https://next.cnki.net/middle/abstract?v=-xbefZa1Cduo5fo6l8tGhJqJGy0H0IXkpUGSAvDmqxeMnSRUBT-CvtpszaNgUuBOtKAoB2d7mYaXT8wj0mATRQlwRw3q30uoRpDWy_ofXlc_PwYYDf0XOiZyQ87C_mT-I8v2U60xpVjRhADfOI77nAFOTpJAB9d9qfJZJLPPXFwJawOqKErJVhKvojsY0s1lpRH8OAdSQvc=&uniplatform=NZKPT&language=CHS&scence=null.
[15]易付良, 陈杜荣, 杨慧, 秦瑶, 韩红娟, 崔靖, 白文琳, 马艺菲, 张荣, 余红梅.. (2024). XGBoost-SHAP机器学习可解释框架用于轻度认知障碍分类研究. 中国卫生统计, 41(03): 423-429. https://next.cnki.net/middle/abstract?v=-xbefZa1Cdut0drraA3Z14PV2GTRccuFyem4rw1VLU5mz-6hwhqgJQlHQcgrpHNIh6RazeICXUvMyS9ix_1NzpOUnFZGWe0uq2Cg6KS9SY0SNw9jTGgVwBdVN93XsaKr_64F-jpOaCYDTBctJuiEQu_vZBBpE82JvplEL4IgZQRzz7uUv3jn7WxwenW4rRSmLLqJO3m_BmI=&uniplatform=NZKPT&language=CHS&scence=null.
[16]王偏, 陈恳.. (2020). 卷积神经网络的人脸识别. 无线通信技术, : 38-42. https://next.cnki.net/middle/abstract?v=-xbefZa1CdskHg0KYwV1NzOPPRxZZL4MMfUMiiCGSAbod7Rb8E7xSNYBOHpXwtl5W8qKmrdhAMF3f69LH8gMZBuKqbY9CgsoNcaO6R0MPhMKafjuxpwNFZWdKs-dH06Xx8xIrG5s9mNQOunt8AHkp61iMRKFk2tpLVYmobva7Yq5qyTyoyrTfM0jwsGJD9XKOC5vAN9hfjo=&uniplatform=NZKPT&language=CHS&scence=null.
[17]何小年, 段凤华.. (2022). 基于Python的线性回归案例分析. 微型电脑应用, 38(11): 35-37. https://next.cnki.net/middle/abstract?v=-xbefZa1Cdv_RdwcYewCEcavvSae8vRDoa3eAYs6vzNKAZWT_U8xDHy8EuhTmuXIEDG5Wr2hcnDdd1-BcTpRcxqsIdrvireWUlFdgBBWaCq5ZRE9aXF-rvY_R3oTfw3QwW20ozyGXjdlFZGa5i2madeGCTTn9xCGIzLid8lP92LSENHpmUk1wOBKkkMgSdT-BvNbOhE4oRE=&uniplatform=NZKPT&language=CHS&scence=null.
[18]苏昶玥.. (2017). 基于随机森林的购物推荐系统. 中国战略新兴产业, (44): 119-120. https://link.cnki.net/doi/10.19474/j.cnki.10-1156/f.002745.
[19]刘幸福.. (2024). 基于卷积神经网络的动物图像识别研究. 高科技与产业化, 30(07): 54-59. https://next.cnki.net/middle/abstract?v=-xbefZa1CduI7kZH5kJd2xKorYt0UUxUkgZi91b6zCC4FU1pj7SO7zZJYBu9Svn_qh7QIxDQWA-KIpmhd06I4rA3rp7ukid4RLkXLSuqqU3DvTDvUMN7Wg9H4BC7uFNTyh1JlMpwv76ukZnpU4gN7piCA3cGhknbKgWcHVJQ4wif3vT-AoBv-zoAGw60L7ufJfIvST8vngU=&uniplatform=NZKPT&language=CHS&scence=null.

附录

A.论文练习题目信息汇总

练习题目名称	对应算法	数据集	任务说明	库/框架
加利福利亚州房价预测（线性回归）	线性回归（Linear Regression）	加利福利亚房价数据集（`sklearn.datasets.fetch_california_housing`）	使用线性回归预测加利福利亚房价，评估模型的R^2得分和均方误差（MSE）	`scikit-learn`
鸢尾花分类（决策树）	决策树（Decision Tree）	鸢尾花数据集（`sklearn.datasets.load_iris()`）	使用决策树分类模型，绘制决策树图形，评估分类准确率，并进行特征重要性分析	`scikit-learn`
泰坦尼克号生存预测（随机森林）	随机森林（Random Forest）	泰坦尼克号数据集（Kaggle Titanic Dataset）	使用随机森林对泰坦尼克号数据进行分类预测，评估模型的准确性、精度和召回率	`scikit-learn`
泰坦尼克号生存预测（XGBoost）	XGBoost（梯度提升机）	泰坦尼克号数据集（Kaggle Titanic Dataset）	使用XGBoost对泰坦尼克号数据进行分类预测，比较XGBoost与随机森林的模型表现，并计算相关评估指标	`XGBoost`
MNIST手写数字识别（神经网络）	神经网络（Neural Networks）	MNIST数据集（`tensorflow.keras.datasets.mnist`）	使用神经网络（MLP）实现手写数字识别，训练并评估在MNIST数据集上的准确率	`Keras`
CIFAR-10图像分类（卷积神经网络）	卷积神经网络（CNN）	CIFAR-10数据集（`tensorflow.keras.datasets.cifar10`）	使用卷积神经网络（CNN）对CIFAR-10数据集进行分类，评估模型准确率，绘制训练过程中的损失和准确度曲线	`Keras`

B.项目代码

Github项目地址：https://github.com/zjtdzyx/machine-learning-project.git